变流器・控制

带蓄电池负载的热电模块模型研究

李 辉1, 王春圣1, 艾东兵2

(1.华东交通大学 电气与电子工程学院,江西 南昌 330013;2.深圳市地铁集团有限公司 运营分公司,广东 深圳 518040)

摘 要:分析了热电模块作为电源、蓄电池作为负载时的直流变流器电路结构和工作原理。针对阻容负载下 的模型弊端,提出了蓄电池负载下电路的新颖分析方法,为更加快速、准确地追踪最大功率传输点(MPPT)提 供了技术参考。

关键词:热电模块; 蓄电池负载; 最大功率跟踪

中图分类号:TM464 文献标识码:A 文章编号:1671-8410(2011)03-0011-05

Study on Thermoelectric Module Models with Battery Load

LI Hui¹ ,WANG Chun-sheng¹ Al Dong-bing²

(1. School of Electrical and Electronic Engineering, East China Jiaotong University, Nanchang, Jiangxi 330013, China;

2. Operations Branch, Shenzhen Metro Co., Ltd., Shenzhen, Guangdong 518040, China)

Abstract: It analyzes the circuit structure and working principle of DC converter taking thermoelectric module as the power supply and a battery as the load. A new method is proposed to analyze the circuit under battery load in terms of the model deficiency with R&C load, which provides technical references for Maximum Power Point Tracking (MPPT) with great speed and accuracy.

Key words: thermoelectric module; battery load; maximum power point tracking

引言 0

汽车尾气中存在大量的可回收能源 ,然而并没有 引起足够的重视。本文从汽车尾气的回收利用出发,以 实现汽车尾气热能向电能的转换为目的,针对直流变 流器的拓扑做了创新性的分析。热电电源变换器由半 导体热电发电器件串接电源变换器构成,变流器采用 Buck 级联Boost 的结构,实现输入端电压宽范围变化时 的最大功率传输。在绝大多数文献中,对于充电器做电 路分析时,大多数认为其负载情况为阻容负载,建立数 学模型来分析其稳态特性和动态特性。但是针对蓄电 池负载的文献很少,然而,针对蓄电池负载在实际中又 是广泛存在的。由于蓄电池负载状况和阻容结构时电 路结构存在显著不同,所以,对其拓扑的研究具有重要 意义。

阻容负载拓扑模型分析电路的弊端

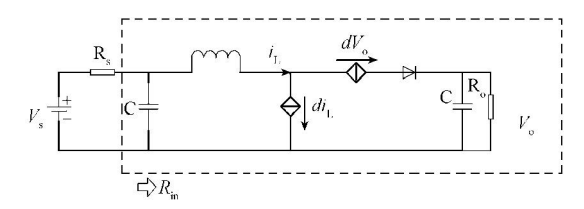
以Boost 电路为例,假设输入端是热电模块的电源 (包含内阻R。),要实现最大功率传输MPP,必须使得电 源内阻R。和输入电阻Rin相等。但是在这个情况下,输出 端电压 \。并不一定满足实际的充电状态。也就是说,我 们假设输出蓄电池端电压为12 V ,考虑到输出端为阻容 负载,输出端电压V。可能达不到12 V及以上的充电电 压。这样无论是在动态分析还是静态分析都是和实际 的电路存在较大的差异。

根据周期平均的思想得到的Boost电路阻容负载等 效电路结构图如图1所示。设输入电压为5 Ⅴ;输入内阻 R_s =1 Ω ;输出电阻 R_s =2 Ω 。据计算,在实现最大功率传 输时,应满足 R_{in} = $(1-d)^2R_{o}$,其中d为占空比。此时,计算 得出d为0.3左右 ,P_{max}=6.25 ₩。

收稿日期:2011-05-11

作者简介:李 辉(1984-),男,硕士研究生,专业方向为电力

电子与电力传动。



Simulink中 V_o —d曲线的仿真结果如图2所示。可以看出与分析的一致,占空比为0.3时,输出电压最大,同时传输功率达到最大为 P_{max} 。但是,值得注意的是,此时的输出电压 V_o 最大值只有3.5V,并没有达到12V的蓄电池电压。可以想象,这样的情况在实际电路中又是确实存在的,但以这样的输出电压根本无法向负载供电。

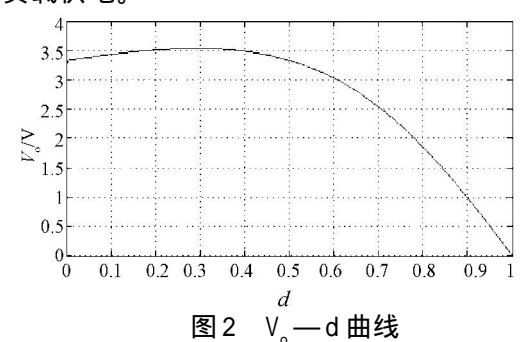


Fig.2 Waveforms of V_—d

但是,实际的充电电路中,如果把负载端转换成蓄电池后,是可以对蓄电池负载进行充电的。

所以,不难看出,通过该模型来分析电路,对实际的充电系统分析是十分不完善的。造成诸多问题,比如,建模时,对参数的设置会出现较大的偏差,特别是对直接占空比控制的控制模式更为严重。阻容负载时,表1为几个简单变流电路的输入电阻与输出电阻的关系,有人根据表1给电路提供一定占空比的脉冲,结果存在较大误差。

表1 几种直流变流器的输入电阻比较 Tab. 1 Comparison on input resistance of several DC converters

电路形式	Buck	Boost	Buck-Boost
输入电阻 R _{in} (阻容负载时 的稳态值)	$R_{\rm in} = \frac{R_{\rm o}}{d^2}$	$R_{in} = R_0 (1 - d)^2$	$R_{\rm in} = \frac{(1-d)^2 R_{\rm o}}{d^2}$

所以不难看出,分析蓄电池负载下的电路特性是 十分必要的。

2 蓄电池负载下的模型分析

基于周期平均化的思想,我们对电路进行模型近似。将Boost电路转化为受控源等效模型,即受控的电

流源代替开关管、受控的电压源代替二极管的工作状态。在Boost 电路前端加内阻的等效电路如图3所示,图中的附加二极管用来防止电流反向流通。

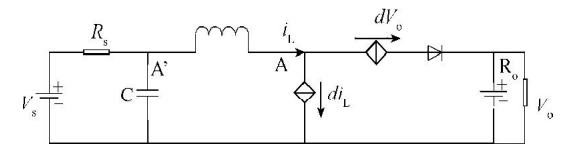


图3 蓄电池负载时结构图

Fig.3 Topological structure with battery load

从图中可以看出,只是把负载端的电容替换成蓄电池结构。此时,系统的结构就和实际的充电模型非常近似。然而分析却和阻容负载情况截然不同。

必须注意到的是负载电阻R。对系统没有任何影响,因为它的端电压被蓄电池的端电压V。箝位,可认为功率完全由蓄电池提供,可以不予考虑。

此时 ,并非所有的占空比 d 都可以使得系统工作在充电状态 ,它会受到蓄电池的箝位作用的影响。根据图 3 的拓扑结构 ,必须满足 $V_a < V_s$ 时 ,才会形成电流 i_L 并在蓄电池的充电侧提供 (1-d) i_L 的充电电流。即:

$$V_a = V_o - dV_o < V_s$$
 (1)

设系统工作在稳态 ,则 $V_A=V_A$,= V_{in} ,式(1)整理后 ,得到:

$$V_{in} = (1-d)V_0 < V_s$$
 (2)

整理后得到:

$$d < 1 - \frac{V_{s}}{V_{o}} \text{ ftf}, \ i_{d} = 0$$

$$d > 1 - \frac{V_{s}}{V_{o}} \text{ ftf}, \ i_{d} > 0$$
(3)

式中:i_d为充电电流。

电感电流 i_{L} 和输入端电压 V_{in} 的仿真波形如图 4 所示。功率—占空比曲线如图 5 所示。仿真条件为 : V_s =5 V; R_s =1 Ω ; R_o =2 Ω ; V_o =12 V_o 此时,充电分割点约为 0.58。从图 5 可以看出,当占空比大于 0.58时,输入端开始向负载供电。

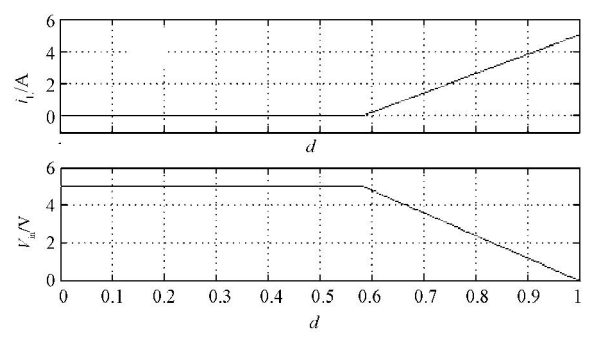


图 4 i 和 V in 随占空比的变化 Fig.4 Variation waveforms of i, and V in as duty ratio varies

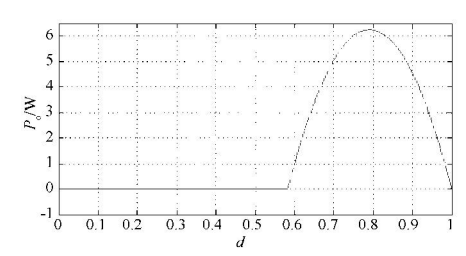


图 5 输出功率 P_o 随占空比的变化 Fig.5 Variation waveforms of output power P_o as duty ratiovaries

3 d__的推导

3.1 Boost 电路分析

为求得最大功率传输时的占空比d_m,首先要求出 R_{in}的表达式。根据图3的拓扑结构,得到下列关系式:

$$i_{L} = \frac{V_{\text{in}}}{R_{\text{in}}}$$

$$i_{L} = \frac{V_{\text{s}} - (1 - d)V_{\text{o}}}{R_{\text{s}}}$$

$$V_{\text{in}} = V_{\text{s}} \frac{R_{\text{in}}}{R_{\text{in}} + R_{\text{s}}}$$
(4)

解得:

$$R_{\rm in} = \frac{R_{\rm s} V_{\rm o} (1 - d)}{V_{\rm o} - (1 - d) V_{\rm o}}$$
 (5)

当 $R_s=R_{in}$ 时,达到最大功率传输点MPPT。表面看来,占空比d与最大功率 P_{max} 关系复杂,但实际不然。

设充电电流为 i_D , 当该电流最大时,由于 $P_{max}=i_D\times V_O$, 那么此时就实现了最大的传输功率 P_{max} 。由此得到:

$$i_{D} = (1 - d)i_{L} = (1 - d)\frac{V_{s} - (1 - d)V_{o}}{R_{s}} = \frac{1}{R_{s}} \left[-V_{o}d^{2} + (2V_{o} - V_{s})d + (V_{s} - V_{o}) \right]$$
 (6)

即 in=f(d)为一个抛物线函数 ,则:

$$d_{\rm m} = \frac{-b}{2a} = \frac{2V_{\rm o} - V_{\rm s}}{2V_{\rm o}} \tag{7}$$

从以上关系可以看出,此时要实现最大传输功率,只要得到 V_s 和 V_o ,经过DSP的简单计算便可以使电路工作在最大功率点MPPT,而与 R_s 无关。这样便可以节省大量的追踪时间,使系统准确、快速。至于 V_s 的得出,需通过间接的方法得到,具体的,可以根据测得的输入电容电压 V_i 。和电感电流 i,计算得到。

3.2 Buck 电路分析

Buck 电路的分析方法与Boost 的分析方法基本一致, Buck 电路等效受控源模型,如图6所示。

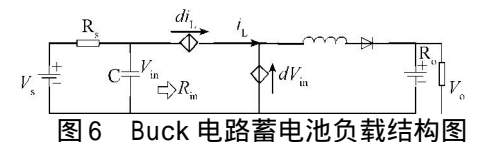


Fig.6 Topological structure of battery load for Buck circuit

分析可得:

$$R_{in} = \frac{V_{in}}{di_{L}}$$

$$di_{L} = \frac{V_{s} - V_{in}}{R}$$
(8)

从而得到 $R_{in} = \frac{R_s V_o}{V d - V}$, 当 $R_{in} = R_s$ 时,实现MPPT。即:

$$R_{\rm in} = \frac{R_{\rm s} V_{\rm o}}{V_{\rm c} d - V_{\rm c}} = R_{\rm s} \tag{9}$$

得到:

$$d_{\rm m} = \frac{2V_{\rm o}}{V_{\rm o}} \tag{10}$$

由于Buck 级联Boost 的升降压形式只是Buck 和Boost 的在结构上的组合,分析和上文一致,所以本文不再赘述。

由此 ,可知 ,无论是Boost 还是Buck ,或是Buck级联 Boost 的形式的升降压结构 ,它们在实现最大功率传输 的时候 ,占空比 d_m 都仅与 V_o 和 V_s 有关。因此 ,可以为控制提供很大方便。

4 最大功率分割点

实际的电路中,采用的是Buck级联Boost 电路的结构。原因在于,单独的Buck或者Boost 电路在输入端变化范围很宽时,可能无法找到最大功率点,但是Buck和Boost 级联的结构能够满足输出端电压宽范围变化的要求。所以,可以根据输入电压V_s和输出电压V_o的情况来判断电路究竟是工作在Buck模式还是Boost模式。综合以上分析得到:

$$d_{m} = \frac{2V_{o} - V_{s}}{2V_{o}} \quad (Boost \mathbb{H})$$

$$d_{m} = \frac{2V_{o}}{V_{s}} \quad (Buck \mathbb{H})$$
(11)

由于,占空比的范围为(0,1),所以d_m在(0,1)范围变化,式(11)必须满足式(12):

$$d_{\rm m} = \frac{2V_{\rm o} - V_{\rm s}}{2V_{\rm o}} > 0 \text{ (Boost B}^{\dagger})$$

$$d_{\rm m} = \frac{2V_{\rm o}}{V_{\rm o}} < 1 \text{ (Buck B}^{\dagger})$$

所以不难看出:当 V_s > $2V_o$ 时,系统工作在Buck模式,最大功率点MPPT在Buck电路中;当 V_s < $2V_o$ 时,系统工作在Boost模式,最大功率点MPPT在Boost电路中。

可见,Buck级联Boost的结构可以实现当电路在V_s和V_o变化时,自由转换工作电路模式(Buck或者Boost),使得电路准确追踪到最大功率点。

5 相关仿真曲线

(1)当 V_s >2 V_o 时,最大功率点在Buck电路中,同等条件下,功率—占空比的曲线分别如图7、图8所示。

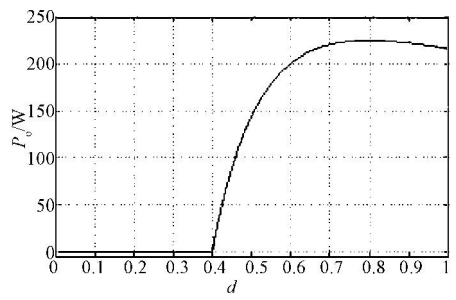


图 7 Buck 电路的 P_o—d 曲线 Fig. 7 Waveforms of P_o—d in Buck

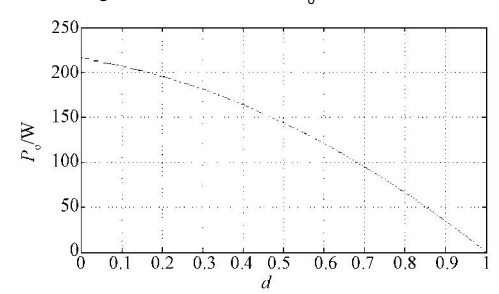


图 8 Boost 电路的 P_o—d 曲线 Fig.8 Waveforms of P_o—d in Boost

(2)当 V_o < V_s < $2V_o$ 时,最大功率点在Boost 电路中,同等条件下,输出功率—占空比的曲线分别如图9、图10所示。

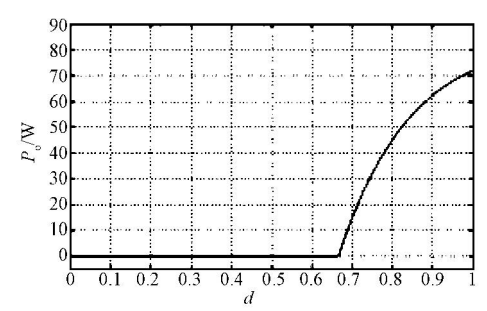


图 9 Buck 电路的 P₀ — d 曲线 Fig. 9 Waveforms of P₀—d in Buck

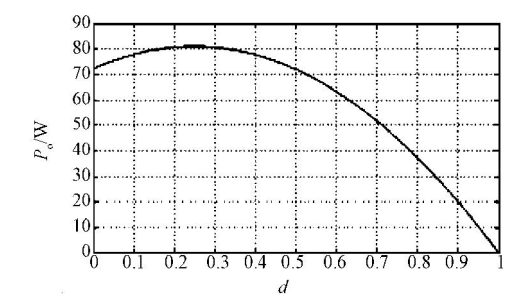


图 10 Boost 电路的 P₀—d 曲线 Fig.10 Waveforms of P₀—d in Boost

(3)当 $V_s < V_o$ 时,最大功率点在Boost电路中,同等条件下,输出功率—占空比的曲线分别如图11、图12所示。

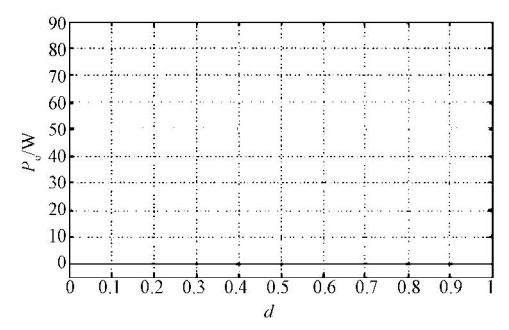


图 11 Buck 电路的 P_o—d 曲线 Fig.11 Waveforms of P_o—d in Buck

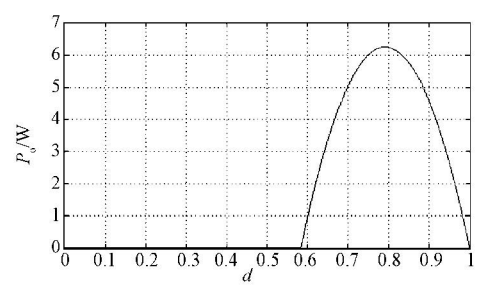
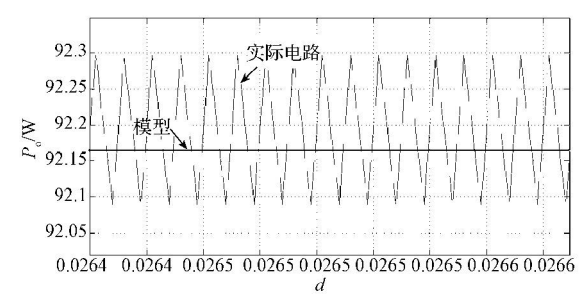


图 12 Boost 电路的 P。— d 曲线 Fig. 12 Waveforms of P。— d in Boost

综合以上波形可以看出 ,2 V_o 为确定电路工作模式的分割点 ,而且两个模式在切换时 ,由于热电模块中输入端热源变化缓慢 ,热阻很大 ,V_s变化缓慢 ,所以可以认为其变化过程是连续的。

占空比为0.4时,Boost和Buck电路的模型和实际电路的输出功率对比图分别如图13、图14所示。结果显示,模型和实际电路的功率曲线是十分接近的。



圏13 Boost 电路 P。 灯比圏 Fig.13 Contrast diagram of P。 in Boost

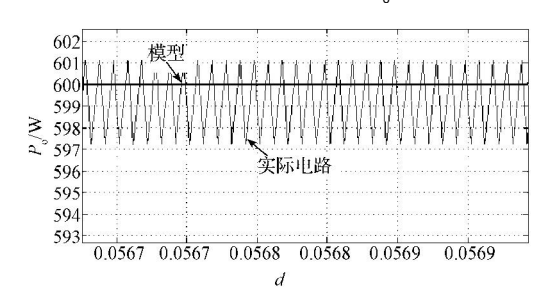


图14 Buck 电路对比图 Fig.14 Contrast diagram of P_o in Buck

6 MPPT工作模式

主电路结构选择Buck 级联Boost 的结构,见图15,这样可以满足输出端电压在宽范围变化时,输出端仍然获得最大功率。开关管S1和S2控制电路在Buck和Boost 电路模式间相互转换。

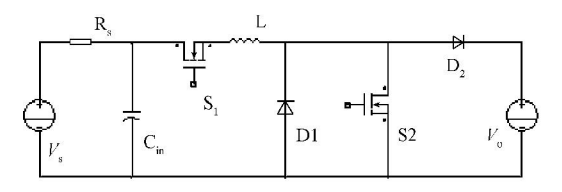


图 15 主电路拓扑结构

Fig.15 Topological structure of the main circuit

综合以上分析,在Buck下,随着 V_s 的减小,实现最大功率传输的占空比 d_m 上升;当 V_s 下降到等于2 V_o 时,平滑达到1,进入Boost 电路模式,Boost 电路的占空比 d_m 从0开始上升,Buck和Boost之间的工作模式转换见图16。

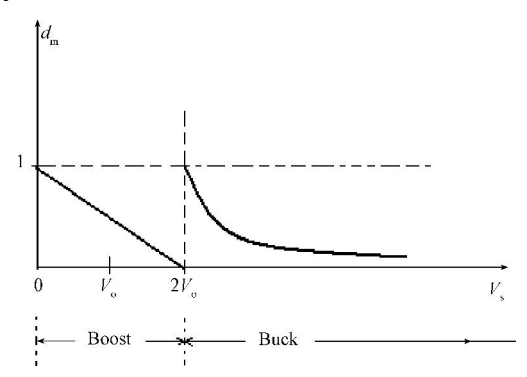


图 16 Buck 和 Boost 之间的工作模式转换 Fig. 16 Working mode conversion between Buck and Boost

建立MPPT 模型的仿真波形如图 17 所示 ,仿真条件为: $R_{i,n}$ =1 Ω ; V_{o} =12 V; V_{o} =0~40 V且为正弦变化。

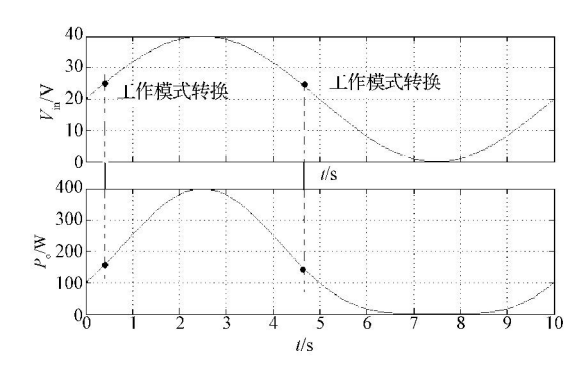


图 17 输入电压宽范围变化时的模式转换 Fig. 17 Working mode conversion as the input voltage varies in a wide range

从图中可以看出,在输入电压为(0,40 V)变化时,电路的工作模式发生了转变,但是,并没有造成冲击,而是平滑缓慢的过渡。从图很难看出中间发生了电路从Boost电路向Buck电路的转化。仿真结果表明,分析是正确的。

7 结语

通过对蓄电池负载时的电路进行工作情况分析,得到了最大功率传输时的占空比 d_m。分析了在输出端电压宽范围变化时,假设采用单一的Boost 电路或者Buck 电路不能在整个范围内实现最大功率传输。但是Buck 级联Boost 的结构可以满足这一要求,而且当DSP提供触发脉冲控制该结构的两个开关管时,在热电模块变化缓慢的情况下,能够实现两种工作状态(Buck和Boost)之间的平滑过渡。该研究对快速搜索最大功率传输时的占空比,实现最大功率传输提供了技术参考。

参考文献:

- [1] Hebertt Sira-Ramirez, Mauricio Garcia-Esteban, Rafael A Perez-Moreno. Design of pulse width modulation controllers for s tabilization and tracking in derived DC-to-DC power converters [J]. INT.J.Control, 1996, 64(2):301-318.
- [2] Takashi Nabershima, Koosuke Harada. Large-signal transient response of switching regulators [J]. IEEE Trans. on AES, 1982, 18(5):545-551.
- [3] Tse K K, Chung H S. Decoupled technique for the simulation of PWM switching regulators using second-order-output extrapolations [J]. IEEE Trans. on PE, 1998,13(2): 222-234.
- [4] 陈艳峰, 丘水生, 伍言真. PWM开关功率变换器闭环系统平衡点稳定性分析[J]. 电路与系统学报, 2000, 5(1): 60-63.

(上接第10页)

参考文献:

- [1] 潘天明. 现代感应加热装置[M]. 北京:冶金工业出版社,1996.
- [2] 陈东华,谢少军. 电流型控制半桥逆变器研究(II): 直流电容电压偏差前馈控制技术[J]. 电工技术学报,2004,19(6):69-73.
- [3] 毛鸿,侯振程,吴昕. 半桥型IGBT移相调功感应加热电源[J]. 工业加热,1997(1):25-29.
- [4] 张晓丽. 并联型逆变器定角控制的研究[D]. 保定:华北电力大学,2003.
- [5] 齐海润,彭咏龙,李亚斌. 串联型逆变器锁相控制技术的研究[J]. 通信电源技术,2010,27(6):16-18.